

金沢工大[○]矢島善次郎 京都大工 田中啓介
金沢大教育 広瀬幸雄 津田政明

1. 緒言

著者らは低温焼もどした高張力4340鋼の3.5%NaCl溶液中での応力腐食き裂成長過程を試験片開口部にクリップゲージをとりつけることおよび移動型顕微鏡での観察結果より、き裂が不連続に進行し(図1)、この間に microbranching することを経験した。本研究では旧オーステナイト粒径の異なる場合に関して粒界破面率の応力拡大係数Kあるいは、き裂成長速度da/dtとの関係を検討し、さらにX線回折法を用いて破面近傍の残留応力分布を測定することにより成長機構に関して検討を加えた。

2. 実験方法

使用した材料は市販の4340鋼で、試験片形状はJIS引張型試験片で板厚は2, 5, 15 mmである。試験片の熱処理条件は880℃で1hr焼後850℃および1100℃で1hrオーステナイト化後油投入し、K.I.が360℃まで100℃おきの温度で各2hr焼もどしを行った。応力腐食割れ試験は荷重Pを変化させることによりK一定試験あるいはP一定試験が可能となる試験機を使用した。X線応力測定はK一定で形成された破面のき裂進展方向の残留応力を応力測定法標準に従って行った。破面深さ方向の残留応力分布は表面より逐次電解研磨し除去した面に関して測定することにより求めた。

3. 実験結果

応力拡大係数K制御試験から成長速度da/dtとKとの関係と求めたのが図2である。いずれの焼もどし温度および板厚によらずK_{ISCC}近傍の第I領域、不安定破境に対応するK_{SC}近傍の第II領域およびその中間の第III領域に分けられた。

つぎに試験片の破面および内部方向の残留応力分布は、破面近傍の残留応力は引張であり破面より少し内部で増大し極大値をとりその後減少する分布形状となる。この残留応力はき裂先端での開口型方向塑性変形に起因するものと本研究での破壊靭性破面に関するとも認められる。残留応力の初期値からの変化が観察される領域が塑性領域に対応する。σ_R=7kg/mm²の位置までの深さw_yを測定しK/σ_Rとの関係を示したのが図3である。焼もどし温度に関係なく次式が成立している。

$w_y = \alpha (K / \sigma_R)^2$
ここでσ_Rは材料の降伏強度、αは定数である。

以下省略

図3 w_yとK/σ_Rとの関係

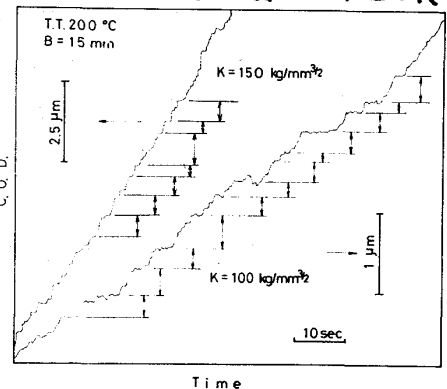


図1 き裂成長に伴うC.O.D.の変化

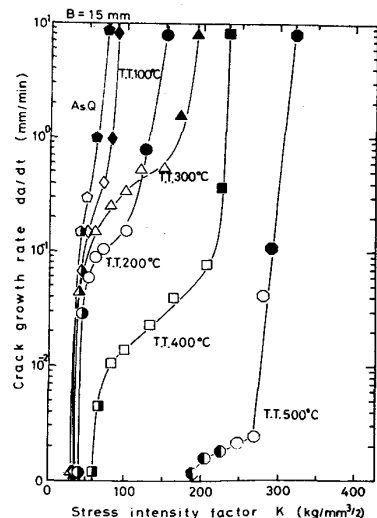
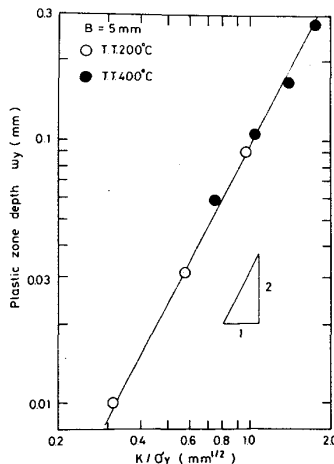


図2 da/dtとKとの関係



参考文献 1) 矢島, 田中, 広瀬: 第49回講演概要集, P.431